

УДК 539.375

## О РАСПРОСТРАНЕНИИ ТОНКИХ ПЛАСТИЧЕСКИХ ЗОН В ОКРЕСТНОСТИ ТРЕЩИНЫ НОРМАЛЬНОГО ОТРЫВА

В. В. Глаголев, А. А. Маркин

Тульский государственный университет, 300600 Тула  
E-mails: vadim@tsu.tula.ru, markin@uic.tula.ru

На основе дискретной модели деформирования в предположении, что среда является идеальной упругопластической, поставлена и решена задача о развитии пластической области в окрестности физического разреза в случаях плоского деформированного и напряженного состояний. При изучении плоского напряженного состояния используются условие текучести Треска и условие полной пластичности. Проведено сравнение зависимостей длины пластической области от величины внешней нагрузки с аналогичной зависимостью, полученной на основе модели Леонова — Панасюка — Дагдейла. Установлено, что в отличие от модели Леонова — Панасюка — Дагдейла при учете упругой сжимаемости и напряжений сжатия-растяжения вдоль направления разреза распределения напряжений и длин пластических зон при плоском деформированном и напряженном состояниях существенно различаются.

**Ключевые слова:** характерный размер, граничное интегральное уравнение, линейная упругость, идеально упругопластическая модель.

**Введение.** При изучении трещины нормального отрыва в виде математического разреза в рамках модели Леонова — Панасюка — Дагдейла постулируется механизм пластического течения, при котором на границах пластической зоны действуют растягивающие напряжения, равные пределу текучести [1, 2]. При вычислении длины пластической зоны данный постулат при различных видах плоского состояния приводит практически к одинаковым результатам. Однако экспериментальные данные свидетельствуют о существенном различии длин этих зон. Поэтому в случае плоской деформации вводится поправка (предел текучести формально увеличивается в  $\sqrt{3}$  раз) [3], в результате чего размер зоны пластичности становится в три раза меньше, чем при плоском напряженном состоянии.

Рассматривается полудискретная модель упругопластического деформирования плоскости с полубесконечным прямолинейным разрезом шириной  $\delta_0$  [4]. Данный масштабный уровень является минимально допустимым уровнем, при котором справедливы гипотезы механики сплошной среды [5, 6]. Будем полагать, что зона пластичности представляет собой прямоугольник высотой  $\delta_0$  и длиной  $l_p$ , которая подлежит определению. Целью данной работы является определение зависимости длины  $l_p$  от вида напряженно-деформированного состояния и величины внешней нагрузки. Полученные результаты сравниваются с решением в рамках модели Леонова — Панасюка — Дагдейла.

**1. Постановка и решение задачи упругопластического деформирования слоя при плоской деформации.** Рассмотрим нагружение плоскости, ослабленной физическим разрезом шириной  $\delta_0$ , симметричной внешней нагрузкой (рис. 1). Считаем, что

---

Работа выполнена при финансовой поддержке Российского фонда фундаментальных исследований (код проекта 07-01-96402) и в рамках аналитической ведомственной целевой программы “Развитие научного потенциала высшей школы” (код проекта 2.1.1/941).

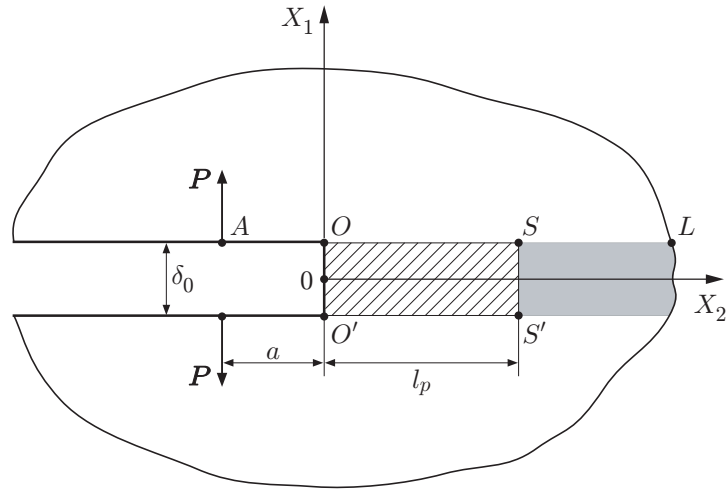


Рис. 1. Схема нагружения

материал, лежащий на продолжении физического разреза в плоскости, образует слой взаимодействия с однородным распределением напряженно-деформированного состояния по толщине [5, 6]. Однородность напряженно-деформированного состояния является следствием того, что компоненты тензора напряжений в слое рассматриваются как средние значения по толщине:

$$\sigma_{ij}(x_2) = \frac{1}{\delta_0} \int_{-\delta_0/2}^{\delta_0/2} \sigma_{ij}(x_1, x_2) dx_1 \quad (i = 1, 2, 3, \quad j = 1, 2, 3).$$

Таким образом, напряженное состояние слоя определяется тензором “усредненных” напряжений. В данном тензоре касательные напряжения полагаются пренебрежимо малыми по сравнению с диагональными компонентами для рассматриваемого вида нагружения. Будем считать, что среднее напряжение  $\sigma_{22}(x_2)$  обусловлено касательной нагрузкой на границе слоя  $\sigma_{21}(\pm\delta_0/2, x_2)$ . Далее напряжения  $\sigma_{11}(x_2)$ ,  $\sigma_{22}(x_2)$ ,  $\sigma_{33}(x_2)$  рассматриваются как средние напряжения в слое, которые являются главными. Кроме того, учитывается напряжение  $\sigma_{21}(x_2) = \sigma_{21}(\delta_0/2, x_2)$ . Предполагается, что связь между напряжениями и деформациями вне слоя взаимодействия описывается в рамках линейной теории упругости.

В силу симметрии задачи рассмотрим только верхнюю полуплоскость ( $x_1 \geq \delta_0/2$ ), а действие слоя на нее заменим нагрузкой

$$\mathbf{q}(x) = -(\hat{\sigma}_{11}\mathbf{e}_1 + \hat{\sigma}_{21}\mathbf{e}_2).$$

Здесь  $x \equiv x_2/\delta_0$  — безразмерная координата;  $\hat{\sigma}_{ij} = \beta\sigma_{ij}$  ( $i = 1, 2, j = 1, 2$ ) — безразмерные напряжения;  $\beta = 2(1 - \nu^2)/(\pi E)$  — параметр материала в случае плоской деформации;  $E$  — модуль упругости;  $\nu$  — коэффициент Пуассона.

Соотношения Фламана [7] связывают внешние нагрузки  $\hat{\sigma}_{11}$  и  $\hat{\sigma}_{12}$  с перемещениями границы полуплоскости:

$$\hat{u}_1(x) = -\hat{P} \ln \left( \frac{x+a}{l+a} \right) + \int_0^l \hat{\sigma}_{11}(\xi) \ln \frac{|x-\xi|}{l-\xi} d\xi; \quad (1)$$

$$\hat{u}_2(x) = \int_0^l \hat{\sigma}_{12}(\xi) \ln \frac{|x-\xi|}{l-\xi} d\xi. \quad (2)$$

Здесь  $\hat{u}_i = u_i/\delta_0$  ( $i = 1, 2$ ) — безразмерные перемещения;  $\hat{P} = P\beta/\delta_0$  — безразмерная сила, отнесенная к единице толщины;  $l$  — расстояние от начала координат до удаленной точки  $L$  с нулевым перемещением.

В силу однородности напряженно-деформированного состояния по толщине слоя из условия равновесия следует

$$\frac{\partial \hat{\sigma}_{22}}{\partial x} = -2\hat{\sigma}_{21}. \quad (3)$$

Перемещения границ слоя определяются из условий

$$\hat{u}_1(x) = \varepsilon_{11}(x)/2; \quad (4)$$

$$\hat{u}_2(x) = \int_l^x \varepsilon_{22}(x) dx. \quad (5)$$

В состоянии плоской деформации до достижения предела текучести напряжения связаны с деформациями законом Гука

$$\varepsilon_{11} = A\hat{\sigma}_{11} - B\hat{\sigma}_{22}; \quad (6)$$

$$\varepsilon_{22} = A\hat{\sigma}_{22} - B\hat{\sigma}_{11}, \quad (7)$$

где  $A = \pi/2$ ,  $B = \nu\pi/[2(1 - \nu)]$  — безразмерные постоянные.

Продифференцируем по  $x$  выражение (2):

$$\varepsilon_{22} = \frac{d\hat{u}_2}{dx} = \int_0^l \hat{\sigma}_{12}(\xi) \frac{1}{x - \xi} d\xi. \quad (8)$$

С учетом формулы (4) выражение (1) запишем в следующем виде:

$$\varepsilon_{11} = -2\hat{P} \ln \left( \frac{x+a}{l+a} \right) + 2 \int_0^l \hat{\sigma}_{11}(\xi) \ln \frac{|x-\xi|}{l-\xi} d\xi. \quad (9)$$

С использованием формул (8), (9) найдем изменение объема вдоль слоя за счет движения “стенок” ограничивающего его упругого пространства:

$$\begin{aligned} \int_0^l \hat{\sigma}_{12}(\xi) \frac{1}{x-\xi} d\xi + 2 \int_0^l \hat{\sigma}_{11}(\xi) \ln \frac{|x-\xi|}{l-\xi} d\xi - 2\hat{P} \ln \left( \frac{x+a}{l+a} \right) + \varepsilon_{33}(x) = \\ = \varepsilon_{11}(x) + \varepsilon_{22}(x) + \varepsilon_{33}(x) = \theta(x). \end{aligned} \quad (10)$$

Отметим, что уравнение (10) является универсальным и остается в силе как при упругом, так и при упругопластическом поведении слоя, в силу того что изменение объема полагается упругим.

Используя закон Гука (6), (7), а также условие  $\varepsilon_{33} = 0$ , равенство (10) представим в виде

$$\int_0^l \hat{\sigma}_{12}(\xi) \frac{1}{x-\xi} d\xi + 2 \int_0^l \hat{\sigma}_{11}(\xi) \ln \frac{|x-\xi|}{l-\xi} d\xi - 2\hat{P} \ln \left( \frac{x+a}{l+a} \right) = (A - B)(\hat{\sigma}_{11} + \hat{\sigma}_{22}), \quad (11)$$

где вид плоского состояния определяют постоянные  $A$  и  $B$ .

К уравнению (11) добавляется условие равенства деформаций  $\varepsilon_{22}$  вдоль слоя, вычисляемых из выражения (8) и непосредственно из закона Гука (7). В результате система уравнений для упругой области принимает вид

$$\int_0^l \hat{\sigma}_{12}(\xi) \frac{1}{x-\xi} d\xi + 2 \int_0^l \hat{\sigma}_{11}(\xi) \ln \frac{|x-\xi|}{l-\xi} d\xi - 2\hat{P} \ln \left( \frac{x+a}{l+a} \right) = (A-B)(\hat{\sigma}_{11} + \hat{\sigma}_{22}),$$

$$A\hat{\sigma}_{22} - B\hat{\sigma}_{11} = \int_0^l \hat{\sigma}_{12}(\xi) \frac{1}{x-\xi} d\xi, \quad \frac{\partial \hat{\sigma}_{22}}{\partial x} = -2\hat{\sigma}_{12}. \quad (12)$$

Основными неизвестными системы (12) являются компоненты тензора напряжения. Так как полагается, что торцевая плоскость начального разреза не нагружена, то имеем

$$\hat{\sigma}_{22}|_{x=0} = 0. \quad (13)$$

Следуя [8], при решении задачи полагаем, что разрушение твердого тела представляет собой дискретный процесс, поэтому в пределах элемента слоя взаимодействия длиной  $\delta_0$  или единичной безразмерной длины напряженное состояние полагается однородным.

Для построения решения задачи в рамках дискретной модели границу полуплоскости  $OL$  разобьем на  $n$  единичных элементов. Каждый элемент границы  $k$  с координатами  $\xi_{k-1}, \xi_k$ , где  $k = \overline{1, n}$ , характеризуется постоянным (средним по элементу) значением напряжений  $\sigma_{11}^k, \sigma_{22}^k, \sigma_{12}^k$ , определяемым следующим образом:

$$\sigma_{ij}^k(x_k) = \int_{\xi_{k-1}}^{\xi_k} \hat{\sigma}_{ij}(\xi) d\xi.$$

Здесь  $x_k = (\xi_k + \xi_{k-1})/2$ . Интегралы в уравнениях системы (12) можно представить в виде соответствующих сумм. Для дискретизации уравнения равновесия (3) проинтегрируем его по  $k$ -му элементу. В результате получим  $\sigma_{22}^k - \sigma_{22}^{k-1} = -2\sigma_{21}^k$ . Следует отметить, что данный подход близок к методу граничных элементов [9] с постоянной аппроксимацией, но отличается от него тем, что разбиение на элементы меньшего размера не имеет смысла. Как указано выше, выбранный размер обусловлен тем, что задача решается в предположении сплошности среды. Таким образом, система интегральных и дифференциальных уравнений (12), дополненная граничным условием (13), в дискретном представлении принимает вид

$$\sum_{i=1}^n \sigma_{12}^i(x_i) \int_{\xi_{i-1}}^{\xi_i} \frac{1}{x_i - \xi} d\xi + 2 \sum_{i=1}^n \sigma_{11}^i(x_i) \int_{\xi_{i-1}}^{\xi_i} \ln \frac{|x_i - \xi|}{l - \xi} d\xi - 2P \ln \left( \frac{x_k + a}{n + a} \right) =$$

$$= (A - B)(\sigma_{11}^k(x_k) + \sigma_{22}^k(x_k)), \quad (14)$$

$$A\sigma_{22}^k(x_k) - B\sigma_{11}^k(x_k) = \sum_{i=1}^n \sigma_{12}^i(x_i) \int_{\xi_{i-1}}^{\xi_i} \frac{1}{x_i - \xi} d\xi,$$

$$\sigma_{22}^k - \sigma_{22}^{k-1} = -2\sigma_{21}^k, \quad k = 1, \dots, n, \quad \sigma_{22}^0 = 0.$$

Отметим, что в общем случае линейная система (14) содержит бесконечное количество уравнений ( $n \rightarrow \infty$ ). Однако, как показывают расчеты, при анализе результатов можно

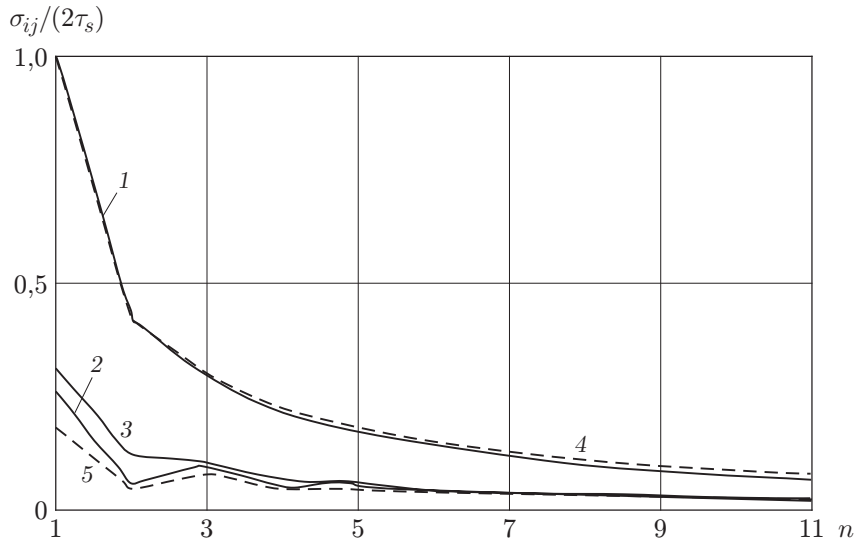


Рис. 2. Напряжения в слое при упругом деформировании:  
 1–3 — плоское деформированное состояние (1 —  $\sigma_{11}$ ; 2 —  $\sigma_{22}$ ; 3 —  $\sigma_{33}$ ); 4, 5 — плоское  
 напряженное состояние:  $\sigma_{33} \equiv 0$  (4 —  $\sigma_{11}$ ; 5 —  $\sigma_{22}$ )

ограничиться конечным числом уравнений. Численное решение системы имеет достаточно хорошую сходимость: при  $n = 1000$  результат расчета отличается от результата расчета при  $n = 5000$  менее чем на 1 %. Все дальнейшие расчеты выполнены при  $n = 5000$ .

На рис. 2 кривые 1, 2 и 3 соответствуют напряжениям  $\sigma_{11}$ ,  $\sigma_{22}$  и  $\sigma_{33}$  в случае плоской деформации при следующих параметрах задачи:  $P = 1$ ,  $a = 5$ ,  $\nu = 0,25$ . Отметим, что при  $\nu = 0$   $\sigma_{22} = \sigma_{33} = 0$ , для остальных допустимых значений коэффициента Пуассона в случае плоской деформации  $\sigma_{22} < \sigma_{33}$ .

Считаем, что при достижении определенного критерия материал слоя переходит в пластическое состояние, которое будем описывать в рамках идеально упругопластической модели [10]. Критерием перехода из упругого состояния в пластическое полагаем достижение критического значения максимального касательного напряжения:

$$|\sigma_{ii} - \sigma_{jj}| = 2\tau_s. \quad (15)$$

Здесь  $\tau_s$  — предел текучести;  $i = 1, 2, 3$ ,  $j = 1, 2, 3$ .

В условиях плоского деформирования в зоне предразрушения из решения упругой задачи следует  $\sigma_{11} > \sigma_{33} \geq \sigma_{22}$  (см. рис. 2). Таким образом, для данного вида нагружения критерий текучести Треска (15) определяется выражением

$$\hat{\sigma}_{11} - \hat{\sigma}_{22} = 2\hat{\tau}_s, \quad (16)$$

где  $\hat{\tau}_s = \beta\tau_s$  — безразмерный предел текучести.

Полагаем, что деформации малы и на стадии упругопластического деформирования справедливо следующее разложение:

$$\varepsilon_{ii} = \varepsilon_{ii}^e + \varepsilon_{ii}^p, \quad i = 1, 2 \quad (17)$$

( $\varepsilon_{ii}^e$ ,  $\varepsilon_{ii}^p$  — упругая и пластическая составляющие полной деформации соответственно). Считаем, что материал пластически несжимаем:

$$\varepsilon_{11}^p + \varepsilon_{22}^p + \varepsilon_{33}^p = 0. \quad (18)$$

Полагаем, что в состоянии плоской деформации упругая и пластическая составляющие поперечной деформации равны нулю:

$$\varepsilon_{33}^e = 0, \quad \varepsilon_{33}^p = 0. \quad (19)$$

Используя закон Гука (6), (7), с учетом (17)–(19) изменение объема представим в виде

$$\theta(x) = (A - B)(\hat{\sigma}_{11} + \hat{\sigma}_{22}). \quad (20)$$

Из выражений (10), (18)–(20), условия равновесия элемента слоя (3) и условия текучести Треска (16) получаем следующую замкнутую систему уравнений, описывающую деформирование пластической области слоя длиной  $l_p$  в состоянии плоской деформации:

$$\int_0^l \hat{\sigma}_{12}(\xi) \frac{1}{x - \xi} d\xi + 2 \int_0^l \hat{\sigma}_{11}(\xi) \ln \frac{|x - \xi|}{l - \xi} d\xi - 2\hat{P} \ln \left( \frac{x + a}{l + a} \right) = (A - B)(\hat{\sigma}_{11} + \hat{\sigma}_{22}), \quad (21)$$

$$\frac{\partial \hat{\sigma}_{22}}{\partial x} = -2\hat{\sigma}_{21}, \quad \hat{\sigma}_{11} - \hat{\sigma}_{22} = 2\hat{\tau}_s.$$

Здесь  $x \leq l_p$ .

Отметим, что при сопряжении упругой и пластической областей на границах  $OS$  и  $O'S'$  (см. рис. 1) используются условие равенства векторов напряжений и условие равенства нормальных перемещений.

В упругой области, где  $x > l_p$  и  $\hat{\sigma}_{11} - \hat{\sigma}_{22} < 2\hat{\tau}_s$ , напряженно-деформированное состояние описывается системой (12). Основными неизвестными систем (21) и (12) (с учетом граничного условия (13)) являются компоненты тензора напряжения, а также длина пластической области.

На основе системы уравнений (21), (12), (13) построим дискретную модель, описывающую упругопластическое деформирование слоя в состоянии плоской деформации. Эта модель состоит из следующих трех подсистем уравнений:

1) уравнения, описывающие поведение материала в пластической области (дискретный аналог системы (21)) на отрезке  $0 \leq x \leq l_p$ :

$$\sum_{i=1}^n \sigma_{12}^i(x_i) \int_{\xi_{i-1}}^{\xi_i} \frac{1}{x_i - \xi} d\xi + 2 \sum_{i=1}^n \sigma_{11}^i(x_i) \int_{\xi_{i-1}}^{\xi_i} \ln \frac{|x_i - \xi|}{n - \xi} d\xi - 2P_{l+1} \ln \left( \frac{x + a}{n + a} \right) =$$

$$= \frac{\pi(\hat{\tau}_s + \hat{\sigma}_{22}^k)(1 - 2\nu)}{1 - \nu}, \quad (22)$$

$$\sigma_{22}^k - \sigma_{22}^{k-1} = -2\sigma_{21}^k, \quad \sigma_{11}^k - \sigma_{22}^k = 2\hat{\tau}_s, \quad k = 1, \dots, l, \quad \sigma_{22}^0 = 0$$

( $l$  — число элементов, находящихся в пластическом состоянии);

2) уравнения, описывающие переход  $(l + 1)$ -го элемента из упругого состояния в пластическое (дискретный аналог системы (12) при условии, что в этом элементе напряжение достигает предела текучести:  $\hat{\sigma}_{11} - \hat{\sigma}_{22} = 2\hat{\tau}_s$ ):

$$\sigma_{11}^k - \sigma_{22}^k = 2\hat{\tau}_s,$$

$$\sum_{i=1}^n \sigma_{12}^i(x_i) \int_{\xi_{i-1}}^{\xi_i} \frac{1}{x_i - \xi} d\xi + 2 \sum_{i=1}^n \sigma_{11}^i(x_i) \int_{\xi_{i-1}}^{\xi_i} \ln \frac{|x_i - \xi|}{l - \xi} d\xi - 2P_{l+1} \ln \left( \frac{x + a}{n + a} \right) =$$

$$= \frac{\pi(\sigma_{11}^k(x_k) + \sigma_{22}^k(x_k))(1 - 2\nu)}{2(1 - \nu)}, \quad (23)$$

$$A\sigma_{22}^k(x_k) - B\sigma_{11}^k(x_k) = \sum_{i=1}^n \sigma_{12}^i(x_i) \int_{\xi_{i-1}}^{\xi_i} \frac{1}{x_i - \xi} d\xi,$$

$$\sigma_{22}^k - \sigma_{22}^{k-1} = -2\sigma_{21}^k, \quad k = l + 1;$$

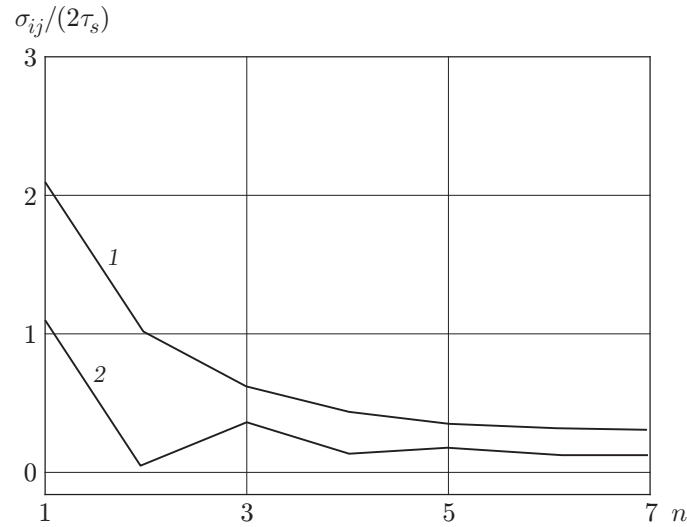


Рис. 3. Напряжения в слое при упругопластическом деформировании в состоянии плоской деформации ( $2\tau_s/E = 3 \cdot 10^{-3}$ ):

1 —  $\sigma_{11}$ ; 2 —  $\sigma_{22}$

3) уравнения, описывающие поведение материала в упругой области (дискретный аналог системы (12)):

$$\sum_{i=1}^n \sigma_{12}^i(x_i) \int_{\xi_{i-1}}^{\xi_i} \frac{1}{x_i - \xi} d\xi + 2 \sum_{i=1}^n \sigma_{11}^i(x_i) \int_{\xi_{i-1}}^{\xi_i} \ln \frac{|x_i - \xi|}{l - \xi} d\xi - 2P_{l+1} \ln \left( \frac{x+a}{n+a} \right) = \frac{\pi(\sigma_{11}^k(x_k) + \sigma_{22}^k(x_k))(1 - 2\nu)}{2(1 - \nu)}, \quad (24)$$

$$A\sigma_{22}^k(x_k) - B\sigma_{11}^k(x_k) = \sum_{i=1}^n \sigma_{12}^i(x_i) \int_{\xi_{i-1}}^{\xi_i} \frac{1}{x_i - \xi} d\xi,$$

$$\sigma_{22}^k - \sigma_{22}^{k-1} = -2\sigma_{21}^k, \quad k = l+2, \dots, n.$$

Полная система уравнений модели дискретного деформирования, состоящая из подсистем (22)–(24), содержит  $3n+1$  линейное уравнение. Неизвестными являются  $3n$  обобщенных напряжений и критическая сила  $P_{l+1}$ , обеспечивающая данное напряженное состояние. Поставленную задачу предлагается решать пошагово, определяя на каждом этапе критическую силу и напряженно-деформированное состояние слоя, соответствующее достижению напряжением критерия текучести в  $(l+1)$ -м элементе.

На рис. 3 показано распределение напряжений, отнесенных к пределу текучести, по элементам разбиения при достижении предела текучести во втором элементе (нагрузка  $P_2$ ). Видно, что при плоской деформации напряжения в пластически деформируемом элементе могут превышать предел текучести (см. также [11]). Это объясняется достаточно большим значением гидростатической составляющей напряженного состояния.

**2. Упругопластическое деформирование слоя при плоском напряженном состоянии.** В плоском напряженном состоянии компоненты напряжения отнесены к параметру  $\beta = 2/(\pi E)$ , и закон Гука имеет вид

$$\varepsilon_{11} = A\hat{\sigma}_{11} - B\hat{\sigma}_{22}, \quad \varepsilon_{22} = A\hat{\sigma}_{22} - B\hat{\sigma}_{11}, \quad \varepsilon_{33} = -B(\hat{\sigma}_{11} + \hat{\sigma}_{22}), \quad (25)$$

где  $A = \pi/2$ ,  $B = \pi\nu/2$  — безразмерные постоянные.

Система разрешающих уравнений для упругой области имеет форму (12). Для области, переходящей из упругого состояния в пластическое, с учетом того что  $\hat{\sigma}_{33} = 0$ , критерий (15) принимается в форме  $\hat{\sigma}_{11} = 2\hat{\tau}_s$ . Полагаем, что в области развитого пластического деформирования выполняется условие полной пластичности  $\hat{\sigma}_{11} = \hat{\sigma}_{22}$  [10, 12, 13]. Тогда условие текучести (15) принимает вид

$$\hat{\sigma}_{11} = \hat{\sigma}_{22} = 2\hat{\tau}_s, \quad (26)$$

где  $\hat{\tau}_s = \beta\tau_s$  — безразмерный предел текучести.

С учетом уравнения равновесия (3) из (26) следует, что на границе слоя в пластической области касательные напряжения равны нулю:  $\hat{\sigma}_{12} = 0$ , поэтому при пластическом течении слоя имеем

$$\hat{\sigma}_{11} = 2\hat{\tau}_s, \quad \hat{\sigma}_{22} = 2\hat{\tau}_s, \quad \hat{\sigma}_{12} = 0. \quad (27)$$

В упругой области, где  $x > l_p$  и  $\hat{\sigma}_{11} < 2\hat{\tau}_s$ , к системе (27) добавляется система (12) с постоянными значениями  $A$ ,  $B$  для плоского напряженного состояния. Как и в случае плоского деформированного состояния, основными неизвестными систем (27) и (12) являются компоненты тензора напряжения, а также длина пластической области. Заметим, что в отличие от случая плоской деформации из системы (27) следует однородность напряженного состояния во всей пластической области, а значит, постоянство деформаций по длине пластической зоны, которые равны деформациям на границе перехода слоя из упругого состояния в пластическое. Упругие деформации слоя определяются из выражений (25).

Дискретная модель, построенная на основе уравнений (27), (12), состоит из следующих трех подсистем уравнений:

1) уравнения, описывающие пластическую область (дискретный аналог системы (27)):

$$\sigma_{11}^k = 2\hat{\tau}_s, \quad \sigma_{22}^k = 2\hat{\tau}_s, \quad \sigma_{21}^k = 0, \quad k = 1, \dots, l;$$

2) уравнения, описывающие переход  $(l+1)$ -го элемента из упругого состояния в пластическое (дискретный аналог системы (12) и условие достижения на элементе напряжением  $\hat{\sigma}_{11}$  предела текучести):

$$\begin{aligned} \sigma_{11}^k &= 2\hat{\tau}_s, \\ \sum_{i=1}^n \sigma_{12}^i(x_i) \int_{\xi_{i-1}}^{\xi_i} \frac{1}{x_i - \xi} d\xi + 2 \sum_{i=1}^n \sigma_{11}^i(x_i) \int_{\xi_{i-1}}^{\xi_i} \ln \frac{|x_i - \xi|}{l - \xi} d\xi - 2P_{l+1} \ln \left( \frac{x+a}{n+a} \right) &= \\ &= \frac{\pi(\sigma_{11}^k(x_k) + \sigma_{22}^k(x_k))(1 - \nu)}{2}, \end{aligned}$$

$$A\sigma_{22}^k(x_k) - B\sigma_{11}^k(x_k) = \sum_{i=1}^n \sigma_{12}^i(x_i) \int_{\xi_{i-1}}^{\xi_i} \frac{1}{x_i - \xi} d\xi,$$

$$\sigma_{22}^k - \sigma_{22}^{k-1} = -2\sigma_{21}^k, \quad k = l+1;$$



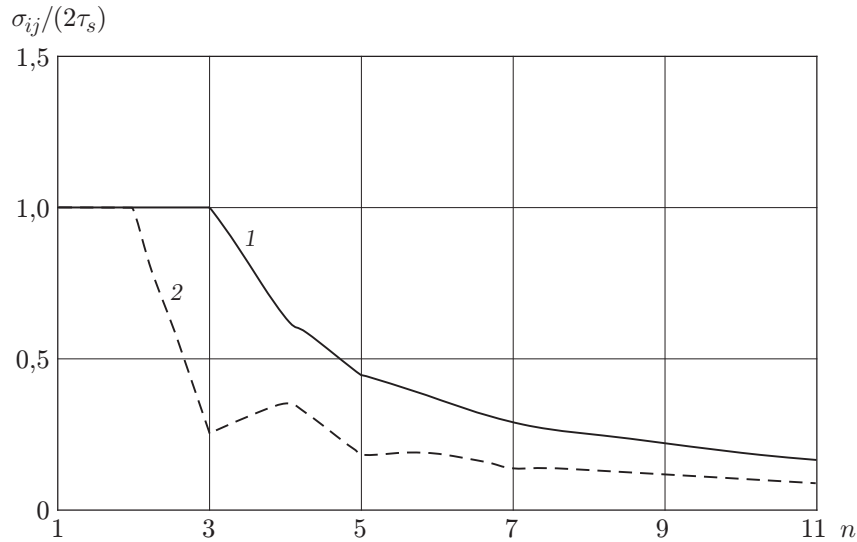


Рис. 4. Напряжения в слое при упругопластическом деформировании в плоском напряженном состоянии ( $2\tau_s/E = 3 \cdot 10^{-3}$ ):

1 —  $\sigma_{11}$ ; 2 —  $\sigma_{22}$

3) уравнения, описывающие упругую область (дискретный аналог системы (12)):

$$\sum_{i=1}^n \sigma_{12}^i(x_i) \int_{\xi_{i-1}}^{\xi_i} \frac{1}{x_i - \xi} d\xi + 2 \sum_{i=1}^n \sigma_{11}^i(x_i) \int_{\xi_{i-1}}^{\xi_i} \ln \frac{|x_i - \xi|}{l - \xi} d\xi - 2P_{l+1} \ln \left( \frac{x+a}{n+a} \right) =$$

$$= \frac{\pi(\sigma_{11}^k(x_k) + \sigma_{22}^k(x_k))(1 - \nu)}{2},$$

$$A\sigma_{22}^k(x_k) - B\sigma_{11}^k(x_k) = \sum_{i=1}^n \sigma_{12}^i(x_i) \int_{\xi_{i-1}}^{\xi_i} \frac{1}{x_i - \xi} d\xi,$$

$$\sigma_{22}^k - \sigma_{22}^{k-1} = -2\sigma_{21}^k, \quad k = l+2, \dots, n.$$

Распределение напряжений на элементах до момента достижения пластического состояния показано на рис. 2. Кривые 4, 5 соответствуют напряжениям  $\sigma_{11}$  и  $\sigma_{22}$  при  $P = 1$ ,  $a = 5$ ,  $\nu = 0,25$ . В случае упругого состояния получаем  $\sigma_{11} > \sigma_{22} \geq \sigma_{33} = 0$  (см. рис. 2). Следовательно, переход из упругого состояния в пластическое определяется критерием текучести (15) в виде  $\hat{\sigma}_{11} = 2\hat{\tau}_s$ .

На рис. 4 для случая плоского напряженного состояния показано распределение напряжений, отнесенных к пределу текучести, по элементам при переходе третьего элемента в пластическое состояние (нагрузка  $P_3$ ).

**3. Сравнение рассматриваемого подхода и подхода Леонова — Панасюка — Дагдейла.** В основе модели Леонова — Панасюка — Дагдейла лежат следующие допущения [1, 2]:

1. Разрез рассматривается как математический; пластическая зона, расположенная на продолжении математического разреза, представляет собой область нулевой толщины и длины  $l_p$ .

2. Напряженное состояние в пластической зоне — однородное растяжение с напряжением, равным пределу текучести при растяжении.

3. Упругое состояние вне зоны пластичности определяется по асимптотическим формулам линейной теории упругости. Наличие пластической зоны не оказывает влияния на закон распределения напряжений в упругой области.

4. Длина пластической области рассчитывается из условия конечности напряжений на границе упругой и пластической областей.

Формализуем данные условия применительно к рассматриваемой задаче:

а) толщина слоя взаимодействия принимается равной нулю:  $\delta_0 = 0$ .

б)  $\sigma_0 = \sigma_{11} = 2\tau_s$  при  $0 \leq x_2 \leq l_p$ ;  $\sigma_{ij} = 0$  при  $i \neq 1, j \neq 1$ .

Для формализации условий 3, 4 используем известные асимптотические решения, приведенные в работах [14, 15]. Коэффициент интенсивности напряжений при расклинивающей сосредоточенной нагрузке  $P$ , приложенной к полубесконечному разрезу, обозначим через  $K_I^P$ , а соответствующий коэффициент от внешней нагрузки постоянной интенсивности  $\sigma_0$  — через  $K_I^0$ . Для того чтобы выполнялось условие 4, необходимо потребовать выполнения условия

$$\lim_{x_2 \rightarrow l_p} \sigma_{11}(0, x_2) = \text{const}. \quad (28)$$

Условие (28) выполняется, если коэффициенты интенсивности удовлетворяют требованию [16]

$$K_I^P - K_I^0 = 0. \quad (29)$$

Используя результаты, приведенные в работе [15], находим выражения для коэффициентов интенсивности напряжений в рассматриваемой задаче:

$$K_I^P = \sqrt{2} P / \sqrt{\pi(l_p + a)}, \quad K_I^0 = 2\sigma_0 \sqrt{2l_p/\pi}. \quad (30)$$

Из условий (29) и (30) получим зависимость между расклинивающей силой и длиной пластического отрезка:

$$P = 2\sigma_0 \sqrt{l_p(l_p + a)}. \quad (31)$$

На рис. 5 показана зависимость длины пластической зоны от приложенной нагрузки, полученная с использованием предлагаемого подхода и классического подхода Леонова — Панасюка — Дагдейла ( $P_1$  — критическая нагрузка, необходимая для перехода первого элемента в пластическое состояние в случае плоского напряженного состояния;  $P_l$  — критическая нагрузка при пластическом течении в  $l$  первых элементах слоя). Из рис. 5 следует, что предлагаемая модель, в отличие от модели Леонова — Панасюка — Дагдейла, позволяет описать чисто упругое поведение материала. Кривая 3 соответствует зависимости (31). Из анализа кривых 1, 2 следует, что пластическая деформация начинается после достижения силой  $P_1$  критического значения  $P_1 = 1$ . В то же время из анализа кривой 3 следует, что согласно модели Леонова — Панасюка — Дагдейла пластическая зона появляется при сколь угодно малой внешней нагрузке. Кривые 1, 2 качественно соответствуют экспериментально установленному факту: при плоском напряженном состоянии длина пластической зоны существенно больше, чем в случае плоской деформации.

**Заключение.** Модель дискретного деформирования позволяет описать развитие зоны пластичности в пределах слоя конечной толщины как для плоского деформированного, так и для плоского напряженного состояния.

Напряженное состояние слоя и длина пластической зоны определяются из решения соответствующих краевых задач, что позволяет (в отличие от подхода Леонова — Панасюка — Дагдейла) учесть перераспределение напряжений в упругой области, обусловленное увеличением зоны пластичности.

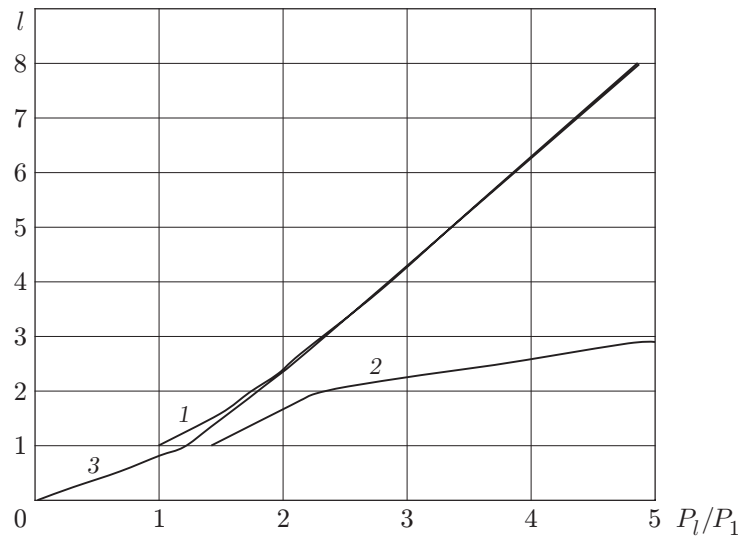


Рис. 5. Зависимость длины пластической зоны от внешней нагрузки:  
 1, 2 — результаты расчета с использованием предлагаемого подхода (1 — плоское напряженное состояние, 2 — плоское деформированное состояние); 3 — результаты расчета по модели Леонова — Панасюка — Дагдейла при плоском напряженном состоянии

Установлено, что учет напряжений сжатия-растяжения и упругой сжимаемости в пластической области слоя обуславливает существенное различие законов изменения напряжений и длин пластических зон при плоских деформированном и напряженном состояниях.

#### ЛИТЕРАТУРА

1. **Dugdale D. S.** Yielding of steel sheets containing slits // J. Mech. Phys. Solids. 1960. V. 8, N 2. P. 100–108.
2. **Леонов М. Я., Панасюк В. В.** Развитие мельчайших трещин в твердом теле // Прикл. механика. 1959. Т. 5, № 4. С. 391–401.
3. **Irvin G. R.** Linear fracture mechanics, fracture transition, and fracture control // Engng Fract. Mech. 1968. V. 1. P. 241–257.
4. **Маркин А. А., Глаголев В. В.** Термомеханическая модель дискретного разделения упругопластических тел // Изв. Тул. гос. ун-та. Сер. Математика. Механика. Информатика. 2006. Т. 12, вып. 2. С. 103–129.
5. **Глаголев В. В., Маркин А. А.** Определение термомеханических характеристик процесса разделения // Изв. РАН. Механика твердого тела. 2007. № 6. С. 101–112.
6. **Гаврилкина М. В., Глаголев В. В., Маркин А. А.** К решению одной задачи механики разрушения // ПМТФ. 2007. Т. 48, № 4. С. 121–127.
7. **Лурье А. И.** Теория упругости. М.: Наука, 1970.
8. **Новожилов В. В.** О необходимом и достаточном критерии хрупкой прочности // Прикл. математика и механика. 1969. № 2. С. 212–222.
9. **Крауч С.** Методы граничных элементов в механике твердого тела / С. Крауч, А. Старфилд. М.: Мир, 1987.
10. **Ишлинский А. Ю.** Математическая теория пластичности / А. Ю. Ишлинский, Д. Д. Ивлев. М.: Физматлит, 2001.
11. **Нотт Дж. Ф.** Основы механики разрушения. М.: Металлургия, 1978.

12. **Ивлев Д. Д.** О выводе соотношений, определяющих пластическое течение при условии полной пластичности // Изв. АН СССР. Отд-ние техн. наук. Механика и машиностроение. 1959. № 3. С. 137.
13. **Аннин Б. Д.** Двумерные подмодели идеальной пластичности при условии полной пластичности // Проблемы механики: Сб. ст. М.: Физматлит, 2003. С. 94–99.
14. **Мусхелишвили Н. И.** Некоторые основные задачи математической теории упругости. М.: Наука, 1966.
15. **Черепанов Г. П.** Механика хрупкого разрушения. М.: Наука, 1974.
16. **Гольдштейн Р. В., Перельмутер М. Н.** Рост трещин по границе соединения материалов // Проблемы механики: Сб. ст. М.: Физматлит, 2003. С. 221–239.

*Поступила в редакцию 26/V 2008 г.,  
в окончательном варианте — 23/X 2008 г.*

---